

بررسی اثر محرک پیزوالکتریک بر رفتار کمانش و ارتعاشی تیرهای اویلر- برنولی تحت نیروی محوری*

نیما جعفرزاده اقدم^(۳)وحید عرب‌ملکی^(۲)حسن بیگلری^(۱)

چکیده استفاده از لایه‌های پیزوالکتریک تأثیر قابل ملاحظه‌ای بر رفتار ارتعاشی و ظرفیت باربری سازه‌ها دارد. به منظور استفاده بهینه از مواد پیزوالکتریک می‌توان به جای لایه سرتاسری از وصله‌های پیزوالکتریک استفاده کرد. هدف تحقیق حاضر بررسی تأثیر وصله‌های پیزوالکتریک و شرایط مرزی بر رفتار کمانش و ارتعاشی تیر اویلر-برنولی تحت بار محوری می‌باشد. تأثیر تنش‌های اعمالی از طرف وصله‌های پیزوالکتریک با استفاده از تابع هوی‌ساید در معادلات حرکت اعمال شده و با استفاده از روش گالرکین، معادله مشخصه حاکم بر رفتار ارتعاشی سیستم استخراج شده است. نتایج نشان می‌دهد که فرکانس‌های طبیعی و بار بحرانی تیر به ولتاژ، طول و موقعیت وصله‌های پیزوالکتریک و همچنین نیروی محوری بستگی دارد که این تأثیرات با استفاده از نمودارهای مناسبی ارائه و مورد بحث قرار داده شده است. نتایج نشان می‌دهد که وصله‌های پیزوالکتریک واقع در وسط تیر بیشترین تأثیر را بر روی فرکانس‌های طبیعی و ظرفیت کمانش تیر دارند.

واژه‌های کلیدی تیر اویلر- برنولی؛ فرکانس طبیعی؛ نیروی محوری؛ بار بحرانی کمانش؛ وصله پیزوالکتریک.

Effect of Piezoelectric Patches on the Vibration and Buckling of Euler-Bernoulli Beams under Axial Load

H. Bighlari

V. A. Maleki

N. Jafarzade Aghdam

Abstract Piezoelectric layers have significant effect on the vibration behavior and buckling capacity of the structures. For optimum usage of piezoelectric materials, it is possible to use the piezoelectric patches instead of the piezoelectric layers. In this paper, the effects of piezoelectric patches and boundary conditions on the buckling and vibration behaviors of Euler-Bernoulli beams is investigated. The piezoelectric stress resultants are introduced in terms of Heaviside discontinuity functions and the characteristics equation is obtained via Galerkin method. The effects of variation of location, length of the piezoelectric patches and the applied voltages on the natural frequencies and critical buckling loads of beam with different boundary conditions are investigated. Results show that the natural frequencies and critical buckling load are dependent on the voltage, length and location of the piezoelectric patches and the axial load. Also, patches have a considerable effect if they placed at the beam center.

Key Words Euler-Bernoulli beam; Natural Frequency; Axial Load; Buckling load; Piezoelectric Patch.

* تاریخ دریافت مقاله ۹۳/۵/۴ و تاریخ پذیرش آن ۹۴/۵/۱۰ می‌باشد.

(۱) استادیار، دانشکده مهندسی مکانیک، دانشگاه تبریز.

(۲) نویسنده مسئول: دانشجوی دکتری، دانشکده مهندسی مکانیک، گروه مهندسی مکانیک، دانشگاه تبریز. Vahid_maleki@tabrizu.ac.ir

(۳) باشگاه پژوهشگران جوان و نخبگان، واحد تبریز، دانشگاه آزاد اسلامی، تبریز، ایران.

مقدمه

تیرهای تحت نیروی محوری کاربرد وسیعی در زمینه‌های مهندسی عمران، مکانیک و هوافضا دارند. با توجه به این‌که نیروی محوری تأثیر قابل ملاحظه‌ای در کاهش یا افزایش سفتی این گونه سازه‌ها و در نتیجه رفتار ارتعاشی و پایداری مکانیکی آنها دارد، بنابراین بررسی رفتار ارتعاشی و پایداری مکانیکی تیرها مورد توجه بسیاری از محققان قرار گرفته است.

در سال‌های اخیر و با گسترش روز افزون تکنولوژی استفاده از مواد پیزوالکتریک برای افزایش ظرفیت باربری تیرها و ایجاد تغییرات مطلوب متناسب با نیاز مورد استفاده، به‌عنوان مثال افزایش/کاهش فرکانس‌های طبیعی سازه، مورد توجه بسیاری از محققان قرار گرفته است [7-1]. محققان در دهه‌های اخیر، به‌منظور تعدیل نیروهای خارجی وارد شده به سازه و در نتیجه کاهش ارتعاشات سازه، از عملگرهای پیزوالکتریک بهره برده‌اند [8]. براساس مطالعات انجام شده به‌منظور تأثیرگذاری مواد پیزوالکتریک بر پایداری سازه، از دو روش ایجاد گشتاور خمشی در سازه [9, 10] که باعث کاهش خیز سازه می‌شود و ایجاد نیروی کششی با استفاده از لایه‌های پیزوالکتریک [10-14] به‌منظور مقابله با نیروی محوری فشاری در سازه‌ها استفاده می‌شود. مورینی و همکاران [9] با استفاده از یک مدل تحلیلی به بررسی پایداری تیرهای انعطاف‌پذیر با استفاده از محرک‌های پیزوالکتریک پرداختند. وانگ [10] با استفاده از مدل تحلیلی به بررسی افزایش ظرفیت باربری ستون‌های نازک با استفاده از لایه‌های پیزوالکتریک که به‌منظور ایجاد نیروی محوری به‌صورت متقارن به سطوح بالایی و پایینی تیر متصل شده‌اند پرداخته است. نتایج مطالعات او نشان می‌دهد موقعیت و ولتاژ اعمالی به لایه‌های پیزوالکتریک بر ظرفیت باربری این ستون‌ها تأثیر می‌گذارد و به‌منظور استفاده بهینه باید موقعیت و ولتاژ مناسب مورد مطالعه قرار بگیرد. این تحقیق روش

جدیدی را به‌منظور افزایش ظرفیت باربری ستون‌ها با استفاده از مواد پیزوالکتریک ارائه داده است. دلا و شو [15] با استفاده از روش ریلی به بررسی تعداد وصله‌های پیزوالکتریک، هم‌چنین تأثیر متقابل آنها بر رفتار ارتعاشی تیر اوپلر-برنولی پرداخته‌اند. سلوس و همکاران [16] با استفاده از تابع گرین، کنترل ارتعاشات تیر تحت نیروی محوری دارای وصله‌های پیزوالکتریک را مورد مطالعه قرار دادند. آنها با مدنظر قرار دادن سه طول مختلف برای وصله پیزوالکتریک، اثر نیروی محوری و ولتاژ اعمالی به پیزوالکتریک را بر روی دامنه ارتعاشی نقطه انتهایی تیر یکسر گیردار بررسی کرده‌اند. چابرا و همکاران [17] با استفاده از روش المان محدود به طراحی و تحلیل سیستم کنترل فعال ارتعاشی تیرها با استفاده از وصله‌های پیزوالکتریک پرداخته‌اند. آنها با مدنظر قرار دادن سه موقعیت مختلف برای وصله‌های پیزوالکتریک، جابجایی و کاهش دامنه ارتعاشی تیر را مورد مطالعه قرار داد.

آلدرایحم و همکاران [18] مطالعاتی تجربی برای بهینه‌سازی مکان و اندازه پیزوسرامیک‌ها انجام دادند. خدیر و آلدرایحم [19] با استفاده از توابع ناپیوستگی، بررسی تغییر شکل تیرها به‌وسیله قطعات پیزوالکتریک کششی و برشی را مورد مطالعه قرار دادند. هم‌چنین آنها در مطالعه‌ای دیگر [20] مدلی تحلیلی را برای بررسی تغییر شکل تیر با چندین جفت وصله پیزوالکتریک ارائه کردند.

نیکخو [21] به بررسی پاسخ ارتعاشی و کنترل تیرهای نازک با استفاده از محرک‌های پیزوالکتریک در حضور بار دینامیکی پرداخته است. وی ناپیوستگی ناشی از وجود محرک‌های پیزوالکتریک را به‌صورت پیوسته در معادلات اعمال کرده و تأثیر بار دینامیکی ناشی از ضربه، نیروی متحرک و جرم متحرک را بر پاسخ تیر مورد مطالعه قرار داده است. در جدیدترین تحقیق انجام شده در زمینه استفاده از محرک‌های پیزوالکتریک، دوکارن و همکاران [22] به بهینه‌سازی

مدل ریاضی تیر اوپلر- برنولی با محرک

پیزوالکتریک

ویژگی‌های هندسی تیر اوپلر- برنولی تحت نیروی محوری و مجهز به وصله پیزوالکتریک که به صورت متقارن به آن متصل شده است، در شکل (۱) نشان داده شده است. اگر وصله‌های پیزوالکتریک نسبت به تیر متقارن و جهت قطبیده شدن آنها عمود بر محور طولی تیر باشد، در این صورت با اعمال ولتاژ الکتریکی V به وصله‌های پیزوالکتریک قرار گرفته در بالا و پایین تیر، نیروی ایجاد شده توسط وصله‌های پیزوالکتریک به صورت نیروی محوری خالص خواهد بود [23]. تنش محوری ایجاد شده در مرز مشترک تیر و لایه‌های پیزوالکتریک از رابطه زیر قابل محاسبه است:

$$\sigma_x = -\bar{\epsilon}_{31} E_z \quad (1)$$

که در آن E_z میدان الکتریکی پیزوالکتریک می‌باشد. با توجه به رابطه فوق، نیروی محوری ایجاد شده در تیر را می‌توان به صورت زیر محاسبه کرد [23]:

$$F_p = -2bh_1 E_z \bar{\epsilon}_{31} = -2b\bar{\epsilon}_{31} V \quad (2)$$

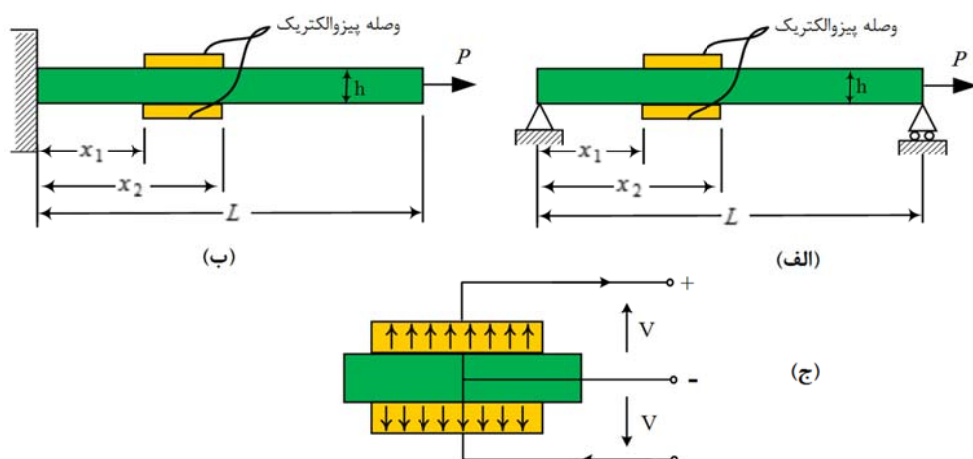
در رابطه اخیر $E_z = V/h_1$ ، $\bar{\epsilon}_{31}$ ثابت نفوذپذیری پیزوالکتریک، b و h_1 به ترتیب پهنا و ضخامت لایه پیزوالکتریک می‌باشد. همان‌طور که از رابطه (۲) مشاهده می‌شود، اعمال ولتاژ الکتریکی باعث ایجاد نیروی محوری در تیر می‌شود. از این نیروی محوری ناشی از لایه پیزوالکتریک می‌توان برای تغییرات مشخصه‌های ارتعاشی و بار بحرانی تیر بهره برد.

با توجه به اینکه در مقاله حاضر ضخامت لایه پیزوالکتریک نسبت به تیر بسیار کم می‌باشد، از اثر ضخامت آن صرف‌نظر می‌شود و به‌منظور در نظر گرفتن اثرات نیروی محوری ناشی از وصله‌های پیزوالکتریک از رابطه (۲) استفاده می‌شود.

موقعیت و اندازه وصله‌های پیزوالکتریک به‌منظور کاهش دامنه ارتعاشات تیرها پرداخته‌اند. نتایج تحقیق آنها نشان می‌دهد که در کاهش دامنه ارتعاشی با استفاده از محرک پیزوالکتریک، ضخامت وصله پیزوالکتریک یکی از مؤثرترین پارامترها می‌باشد. آنها در تحقیق خود به ارائه پارامترهای بهینه برای کاهش دامنه ارتعاشی تیر پرداخته‌اند و نحوه تأثیر این پارامترها بر فرکانس‌های طبیعی و بار کمانش را مورد بررسی قرار نداده‌اند.

بررسی مطالعات انجام شده در این زمینه نشان می‌دهد که هر چند در زمینه رفتار ارتعاشی و کمانش تیرها تحت تأثیر وصله‌های پیزوالکتریک مطالعات گسترده‌ای صورت پذیرفته است، اما در هیچ یک از این مطالعات تأثیر پارامترهای موقعیت و طول وصله‌های پیزوالکتریک بر فرکانس‌های طبیعی و بار کمانش مورد بررسی قرار نگرفته است.

در تحقیق حاضر به‌منظور مطالعه تأثیر پارامترهای موقعیت و طول محرک پیزوالکتریک و هم‌چنین شرایط مرزی بر فرکانس‌های طبیعی، رفتار ارتعاشی و پایداری مکانیکی تیر اوپلر- برنولی تحت نیروی محوری و تأثیر دو وصله پیزوالکتریک که به‌صورت متقارن به سطوح بالایی و پایینی تیر متصل شده‌اند، مورد بررسی قرار می‌گیرد. در مدل‌سازی و مطالعه رفتار ارتعاشی از تئوری تیر اوپلر- برنولی استفاده شده و اثر ناپیوستگی ناشی از محرک پیزوالکتریک که باعث ایجاد نیروی محوری موضعی در تیر می‌شود با استفاده از تابع هوی‌ساید در معادلات حاکم اعمال شده است. پس از حل معادلات با استفاده از روش گالرکین به مطالعه رفتار ارتعاشی و تأثیر پارامترهای مختلفی همانند نیروی محوری، ولتاژ اعمالی، موقعیت و طول محرک پیزوالکتریک بر فرکانس‌های طبیعی و بار کمانش تیر پرداخته می‌شود.



شکل ۱ تیر اوپلر-برنولی، (الف) دو سر ساده با محرک پیزوالکتریک، (ب) یکسر گیردار با محرک پیزوالکتریک و (ج) مدار الکتریکی لایه پیزوالکتریک با اختلاف پتانسیل V

با جای گذاری رابطه (۴) در معادله حرکت (۳) و در نظر قرار دادن پاسخ سیستم به صورت $w(x, t) = W(x)e^{i\omega t}$ معادله حرکت حاکم بر قسمت مکانی به صورت زیر به دست می آید [10]:

$$EI \frac{d^4 W(x)}{dx^4} - \rho A \omega^2 W(x) - (P + F_p \{H(x - x_1) - H(x - x_2)\}) \frac{d^2 W(x)}{dx^2} = 0 \quad (5)$$

با توجه به عدم امکان حل تحلیلی معادله فوق، برای حل از روش گالرکین استفاده می شود. بدین منظور پاسخ فرضی معادله اخیر به صورت زیر در نظر گرفته می شود:

$$W(x) = \sum_{i=1}^n c_i \phi_i(x) \quad (6)$$

که در آن $\phi_i(x)$ توابع مقایسه ای هستند و شرایط مرزی حاکم بر مسأله را ارضا می کنند و c_i ($i = 1 \rightarrow n$) ثابت های مجهولی هستند که از حل معادله مقدار ویژه به دست می آیند. به منظور افزایش دقت محاسبات، توابع $\phi_i(x)$ شکل مودهای ارتعاشی تیر اوپلر-برنولی یکسر

معادله حرکت حاکم بر رفتار ارتعاش عرضی تیر اوپلر-برنولی تحت نیروی محوری به صورت زیر می باشد [24, 25]:

$$EI \frac{\partial^4 w(x, t)}{\partial x^4} - F \frac{\partial^2 w(x, t)}{\partial x^2} + \rho A \frac{\partial^2 w(x, t)}{\partial t^2} = 0 \quad (3)$$

که در آن $w(x, t)$ خیز عرضی تیر، ρ جرم واحد حجم، EI سفتی خمشی و F نیروی محوری کششی اعمالی به تیر می باشد.

با توجه به این که وجود وصله های پیزوالکتریک باعث ایجاد ناپیوستگی در معادلات حرکت سیستم می شود، بنابراین در تحقیق حاضر به منظور در نظر گرفتن این ناپیوستگی از تابع هوی ساید استفاده می شود. وصله های پیزوالکتریک که به صورت موضعی و متقارن به تیر متصل شده اند، باعث ایجاد نیروی محوری موضعی می شوند. برآیند نیروی محوری اعمالی به تیر که مجموع نیروی محوری P و نیروی محوری ناشی از وصله های پیزوالکتریک است را می توان به صورت زیر نوشت:

$$F = P + F_p \{H(x - x_1) - H(x - x_2)\} \quad (4)$$

$$\begin{bmatrix} 0 & 1 \\ M & 0 \\ M^2 \sinh M & M^2 \cosh M \\ (M^3 - TM) \cosh M & (M^3 - TM) \sinh M \\ 0 & 1 \\ N & 0 \\ -N^2 \sin N & -N^2 \cos N \\ -(N^3 + TN) \cosh N & (N^3 + TN) \sin N \end{bmatrix} \begin{Bmatrix} A_1 \\ A_2 \\ A_3 \\ A_4 \end{Bmatrix} = 0 \quad (11)$$

با جایگذاری رابطه (۹) در شرایط مرزی فوق، معادلات لازم برای محاسبه ثابت مجهول A_i ($i=1 \rightarrow 4$) به صورت رابطه (۱۱) به دست می آید. برای این که دستگاه معادلات جبری همگن (۱۱) دارای جواب غیربدهی باشد، باید دترمینان ماتریس ضرایب برابر صفر بشود. با مساوی صفر قرار دادن دترمینان ماتریس ضرایب معادله مشخصه سیستم به صورت معادله (۱۲-الف) به دست می آید.

$$(M^3 - TM)(\sinh M - \alpha \cosh M) - (N^3 + TN) \left(\frac{M}{N} \sin N + \alpha \cos N \right) = 0 \quad (12\text{-الف})$$

که در آن ضریب α از رابطه زیر به دست می آید:

$$\alpha = \frac{M^2 \cosh M + N^2 \cos N}{M^2 \sinh M + N^2 \sin N} \quad (12\text{-ب})$$

از حل معادله (۱۲-الف) فرکانس های طبیعی بی بُعد سیستم، Ω_n ، که وابسته به پارامترهای هندسی و نیروی محوری می باشند، به دست می آیند. پس از محاسبه فرکانس های طبیعی و جایگذاری آن در رابطه (۸)، شکل مود طبیعی n م به صورت زیر به دست می آید:

$$\phi_n(x) = \phi_n(L\xi) = \cosh(M\xi) - \cos(N\xi) - \frac{M^2 \cosh(M) + N^2 \cos(N)}{M^2 \sinh(M) + N^2 \sin(N)} \left\{ \sinh(N\xi) - \frac{M}{N} \sin(N\xi) \right\} \quad (13)$$

گیردار تحت نیروی محوری در نظر گرفته می شوند. با صرف نظر کردن از اثرات محرک های پیزوالکتریک، شکل مودهای طبیعی از حل معادله دیفرانسیل زیر به دست می آیند:

$$EI \frac{d^4 \phi_n(x)}{dx^4} - P \frac{d^2 \phi_n(x)}{dx^2} - \rho A \omega_n^2 \phi_n(x) = 0 \quad (7)$$

که در آن ω_n فرکانس طبیعی متناظر با شکل مود n می باشد. جواب معادله (۷) را می توان به صورت زیر به دست آورد:

$$\phi_n(x) = \phi_n(L\xi) = A_1 \sinh(M\xi) + A_2 \cosh(M\xi) + A_3 \sin(N\xi) + A_4 \cos(N\xi) \quad (8)$$

که در آن $\xi = x/L$ و A_i ($i=1,2,3,4$) ثوابت مجهولی هستند که از اعمال شرایط مرزی به دست می آیند. پارامترهای M و N عبارتند از:

$$M = L \sqrt{\frac{P}{2EI} + \sqrt{\left(\frac{P}{2EI}\right)^2 - \left(K - \left(\frac{\rho A}{EI}\right)\omega_n^2\right)}} = \sqrt{T + \sqrt{T^2 - (KL^4 - \Omega_n^2)}} \quad (9)$$

$$N = L \sqrt{-\frac{P}{2EI} + \sqrt{\left(\frac{P}{2EI}\right)^2 - \left(K - \left(\frac{\rho A}{EI}\right)\omega_n^2\right)}} = \sqrt{-T + \sqrt{T^2 - (KL^4 - \Omega_n^2)}}$$

در رابطه اخیر $T = PL^2/2EI$ نیروی محوری بی بُعد و $\Omega_n = \omega_n L^2 \sqrt{\rho A/EI}$ فرکانس طبیعی بی بُعد متناظر می باشد. برای تیر با شرایط تکیه گاهی یکسر گیردار و تحت نیروی محوری، شرایط مرزی بصورت روابط (۱۰) می باشند.

$$\begin{aligned} \phi_n(\xi)|_{\xi=0} = 0, \quad \frac{d\phi_n(\xi)}{d\xi}|_{\xi=0} = 0, \\ \frac{d^2\phi_n(\xi)}{d\xi^2}|_{\xi=1} = 0, \quad \frac{d^3\phi_n(\xi)}{d\xi^3}|_{\xi=1} - T \frac{d\phi_n(\xi)}{d\xi}|_{\xi=1} = 0 \end{aligned} \quad (10)$$

تأثیر وصله‌های پیزوالکتریک می‌باشد که در آن ω فرکانس‌های طبیعی سیستم بوده و مؤلفه‌های ماتریس‌های سفتی و جرم $[K]$ و $[M]$ به صورت رابطه (۱۸) می‌باشند.

$$k_{ij} = EI \int_0^L \phi_j(x) \frac{d^4 \phi_i(x)}{dx^4} dx - T \int_0^L \phi_j(x) \frac{d^2 \phi_i(x)}{dx^2} dx - F \int_{x_1}^{x_2} \phi_j(x) \frac{d^2 \phi_i(x)}{dx^2} dx$$

$$m_{ij} = \rho A \int_0^L \phi_j(x) \phi_i(x) dx \quad (18)$$

برای این‌که دستگاه معادلات جبری همگن (۱۷) دارای جواب غیربديهی باشد، باید دترمینان ماتریس ضرایب برابر صفر باشد. در نتیجه معادله مشخصه سیستم از رابطه زیر به دست می‌آید:

$$\det([K] - \Omega_n^2 [M]) = 0 \quad (19)$$

از حل معادله اخیر فرکانس‌های طبیعی سیستم که علاوه بر مشخصات هندسی و مکانیکی تیر به اندازه نیروی محوری و ولتاژ اعمالی به محرک پیزوالکتریک بستگی دارد، به دست می‌آید.

نتایج عددی

در این بخش، به بررسی عددی نتایج حاصل از مدل‌سازی ریاضی قسمت قبل به منظور بررسی رفتار ارتعاشی و پایداری مکانیکی تیر اویلر-برنولی با شرایط تکیه‌گاهی دو سر ساده و یکسر گیردار که دو قطعه پیزوالکتریک به صورت متقارن به وجوه بالایی و پایینی آن متصل شده‌اند، پرداخته می‌شود. خواص فیزیکی و مشخصات هندسی تیر و وصله‌های پیزوالکتریک استفاده شده در شبیه‌سازی در جدول (۱) آورده شده است. نتایج عددی برحسب پارامترهای بی‌بعد نسبت فرکانسی و نسبت بار بحرانی ارائه

در غیاب نیروی محوری، $T=0$ ، معادلات (۱۳ و ۱۲) به معادله مشخصه و شکل مود طبیعی تیر اویلر-برنولی یکسر گیردار در غیاب نیروی محوری تبدیل می‌شوند.

برای تیر اویلر-برنولی با تکیه‌گاه‌های ساده در دو انتها شکل مودهای طبیعی به صورت زیر به دست می‌آیند:

$$\phi_n(x) = \sin\left(\frac{n\pi}{L}x\right) \quad (14)$$

پس از به دست آوردن شکل مودهای ارتعاشی تیر اویلر-برنولی تحت نیروی محوری، با جایگذاری پاسخ فرضی (۶) در معادله حرکت، معادله دیفرانسیل معمولی زیر حاصل می‌شود:

$$EI \sum_{i=1}^n c_i \frac{d^4 \phi_i(x)}{dx^4} - \rho A \omega^2 \sum_{i=1}^n c_i \phi_i(x) - (P + F_p \{H(x-x_1) - H(x-x_2)\}) \sum_{i=1}^n c_i \frac{d^2 \phi_i(x)}{dx^2} = 0 \quad (15)$$

با ضرب طرفین معادله اخیر در $\phi_j(x)$ و انتگرال‌گیری در بازه $[0, L]$ خواهیم داشت:

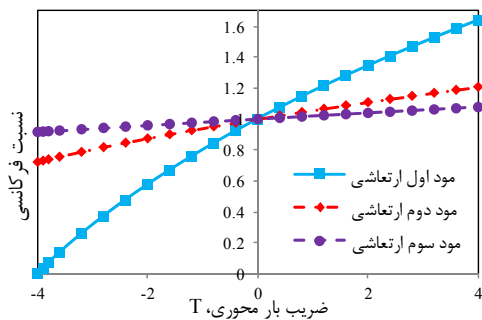
$$EI \sum_{i=1}^n \int_0^L \phi_j(x) \frac{d^4 \phi_i(x)}{dx^4} dx - P \sum_{i=1}^n \int_0^L \phi_j(x) \frac{d^2 \phi_i(x)}{dx^2} dx - F_p \sum_{i=1}^n \int_{x_1}^{x_2} \phi_j(x) \frac{d^2 \phi_i(x)}{dx^2} dx - \rho A \omega^2 \sum_{i=1}^n \int_0^L \phi_j(x) \phi_i(x) dx = 0 \quad (16)$$

معادله اخیر را به فرم ماتریسی می‌توان به صورت زیر نوشت [10]:

$$([K] - \omega^2 [M])\{C\} = 0 \quad (17)$$

رابطه اخیر معرف معادله مشخصه حاکم بر رفتار ارتعاشی تیر اویلر-برنولی تحت نیروی محوری و

ساده در دو انتها مقایسه گشته است. در استخراج نتایج از مشخصات هندسی و مکانیکی مشابه مرجع [10] استفاده شده است. مقایسه نتایج تطابق خوب بین نتایج را نشان می دهد. علت اختلاف جزئی بین مقادیر حاصل از کار حاضر نسبت به مرجع [10] استفاده از تئوری و روش های حل مختلف می باشد.



شکل ۲ تأثیر نیروی محوری بر نسبت فرکانسی در غیاب اعمال ولتاژ الکتریکی

در شکل (۲) تأثیر نیروی محوری در ولتاژ صفر بر نسبت فرکانسی برای سه مود ارتعاشی اول تیر یکسر گیردار نشان داده شده است. همان طور که مشاهده می شود نیروی محوری تأثیر قابل توجهی بر فرکانس های طبیعی تیر دارد. نیروی محوری کششی با افزایش سفتی سازه باعث افزایش فرکانس های طبیعی و در مقابل نیروی محوری فشاری، باعث کاهش فرکانس های طبیعی می شود. با افزایش بار محوری فشاری، در یک مقدار خاص مقدار فرکانس طبیعی اول به صفر می رسد که به این مقدار نیرو، بار بحرانی گفته می شود. برای تیر اوایلر-برنولی یکسر گیردار، بار بحرانی برابر $P_{cr} = \frac{\pi^2 EI}{(2L)^2}$ می باشد [24] که با توجه به مقادیر عددی جدول (۱) مقدار آن برابر 186.3N به دست می آید. با توجه به شکل (۲)، مقدار نیروی متناظر با فرکانس طبیعی صفر برابر 186.3N به دست می آید و این نشان می دهد مدل با دقت مناسبی رفتار

شده اند. نسبت فرکانسی (یا بار بحرانی) به صورت نسبت فرکانس طبیعی (یا بار بحرانی) تیر در حضور وصله پیزوالکتریک به فرکانس طبیعی (یا بار بحرانی) تیر در غیاب وصله پیزوالکتریک تعریف می شود.

جدول ۱ خواص هندسی و مکانیکی تیر و وصله های پیزوالکتریک

	تیر	پیزوالکتریک
مدول یانگ (GPa) ، E	210	66.7
چگالی (Kg/m ³) ، ρ	7740	8500
ثابت پیزوالکتریک (C/m ²) ، e ₃₁	—	17.8
عرض (cm) ، b	4	3.2
ارتفاع (cm) ، h	0.3	0.0254

جدول ۲ مقایسه فرکانس های طبیعی تیر با تکیه گاه های ساده در دو انتها به دست آمده از مدل ارائه شده و حل دقیق [24]

		فرکانس طبیعی، (rad/s)	
شرایط مرزی		ω ₁	ω ₂
دو سر ساده	حل ارائه شده	186.77	721.19
	حل دقیق [24]	186.78	721.19

جدول ۳ مقایسه نسبت بار بحرانی تیر با تکیه گاه های ساده در دو انتها به دست آمده از مدل ارائه شده و نتایج مرجع [10]

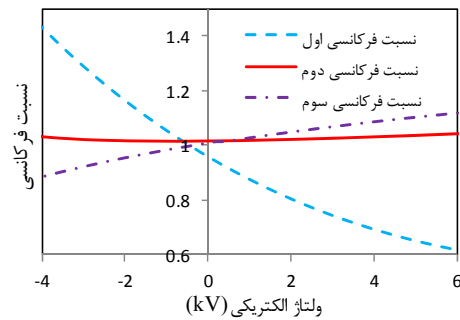
ولتاژ (V)	نسبت بار بحرانی	
	حل ارائه شده	مرجع [10]
200	1.051	1.024
400	1.076	1.035
600	1.082	1.045
800	1.094	1.056

برای اطمینان از صحت نتایج به دست آمده در این تحقیق، ابتدا در جدول (۲) مقادیر فرکانس های طبیعی اول و دوم تیر اوایلر-برنولی یکسر گیردار تحت نیروی محوری بدون وصله پیزوالکتریک با نتایج حل دقیق [24] مورد مقایسه قرار گرفته است. سپس در جدول (۳)، نسبت بار بحرانی به دست آمده از مدل ارائه شده با نتایج مرجع [10] به ازای مقادیر مختلف ولتاژ اعمالی به وصله پیزوالکتریک برای تیر با شرایط تکیه گاه های

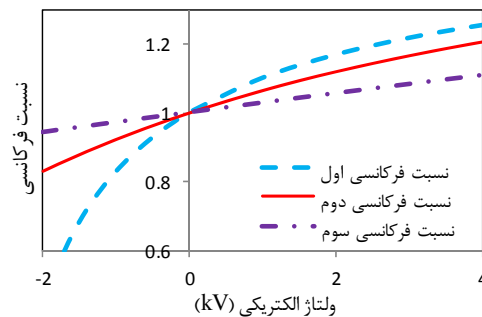
پیکربندی دو وصله پیزوالکتریک در تحقیق حاضر، ولتاژ منفی باعث افزایش طول وصله پیزوالکتریک و در نتیجه ایجاد نیروی محوری کششی موضعی در تیر می شود و ولتاژ مثبت منجر به کاهش طول و در نتیجه ایجاد نیروی محوری فشاری موضعی در تیر می گردد. بنابراین، ولتاژ مثبت باعث کاهش و ولتاژ منفی باعث افزایش فرکانس های طبیعی می شود. با توجه به این که اثر نیروی محوری در رفتار ارتعاشی و پایداری تیر مشابه وصله های پیزوالکتریک متقارن به کار گرفته شده می باشد، بنابراین اعمال ولتاژ منفی که باعث افزایش فرکانس های طبیعی می شود در افزایش ظرفیت بار بحرانی تیر نیز بسیار تأثیرگذار می باشد. علاوه بر این، نتایج نشان می دهد که تأثیر ولتاژ الکتریک بر تغییرات فرکانس طبیعی اول نسبت به تأثیر آن بر تغییرات فرکانس های بالاتر قابل ملاحظه می باشد.

به منظور نشان دادن تأثیر طول وصله پیزوالکتریک و شرایط مرزی بر رفتار ارتعاشی تیر، در شکل (۴) سه نسبت فرکانسی اول بر حسب طول وصله های پیزوالکتریک و در غیاب نیروی محوری مکانیکی آورده شده است. همان طور که مشاهده می شود با افزایش طول محرک های پیزوالکتریک، تأثیر آن بر فرکانس های طبیعی افزایش می یابد. میزان طول مؤثر برای اثرگذاری بیشتر بر روی رفتار ارتعاشی به ولتاژ اعمالی به محرک های پیزوالکتریک بستگی دارد. به طوری که با توجه به شکل (۴) مشاهده می شود به ازای ولتاژ 1000 V ، وصله های پیزوالکتریک با طول کمتر از 20% طول تیر، تأثیر بسیار کمی بر فرکانس طبیعی دارند و هم چنین با افزایش طول محرک ها اثر آنها روی فرکانس های طبیعی بیشتر می شود تا این که بعد از رسیدن به مقدار مشخصی (80% طول تیر) تأثیر آن بر تغییر فرکانس های طبیعی به مقدار ثابتی میل می کند. بنابراین وصله های پیزوالکتریک نزدیک به انتهای گیردار تیر تأثیر کمتری بر تغییرات فرکانس های طبیعی تیر دارد و با نزدیک شدن آن به انتهای آزاد تیر

ارتعاشی را پیش بینی می کند. هم چنین با توجه به شکل مشاهده می شود، تأثیر نیروی محوری بر فرکانس طبیعی اول بسیار قابل ملاحظه تر از تأثیر آن بر روی فرکانس های طبیعی بالاتر است.



(الف)

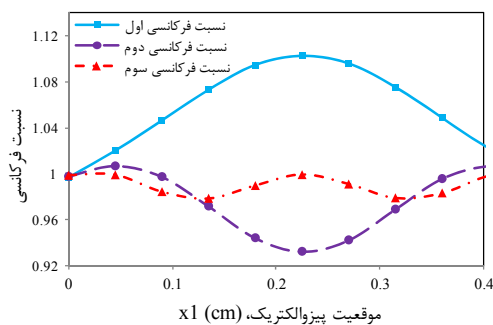


(ب)

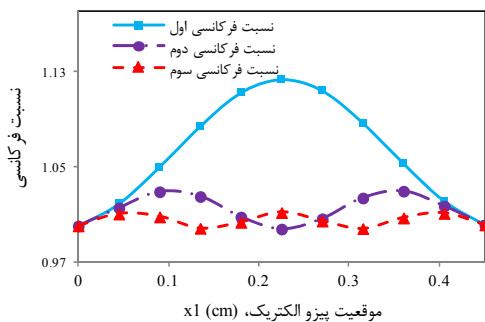
شکل ۳ تأثیر ولتاژ اعمالی به محرک های پیزوالکتریک بر نسبت فرکانسی تیر اوپلر-برنولی با شرایط تکیه گاهی (الف) یکسر گیردار (ب) دو سر ساده

همان طور که از رابطه (۶) مشاهده می شود پاسخ ارتعاشی تیر علاوه بر مشخصات مکانیکی وصله های پیزوالکتریک به ولتاژ اعمالی، طول و موقعیت وصله های پیزوالکتریک نیز بستگی دارد. در شکل (۳)، منحنی تغییرات نسبت فرکانسی تیر بر حسب ولتاژ اعمالی نشان داده شده است. این شکل به ازای طول پیزوالکتریک 45 mm و $x_1 = 5\text{ mm}$ رسم شده است. همان طور که مشاهده می شود، علاوه بر ولتاژ اعمالی به وصله های پیزوالکتریک، جهت ولتاژ نیز تأثیر قابل توجهی بر فرکانس های طبیعی دارد. با توجه به

به‌ازای ولتاژ 1000V حداکثر افزایش فرکانس طبیعی اول تیر با شرایط مرزی یکسر گیردار و دو سر ساده به‌ترتیب ۱۰٪ و ۱۳٪ می‌باشد. بنابراین برای استفاده بهینه از محرک‌های پیزوالکتریک باید محرک پیزوالکتریک در مکان مناسب قرار گیرد تا با اعمال کمترین ولتاژ، بیشترین تأثیر را بر روی فرکانس‌های طبیعی و بار بحرانی تیر ایجاد نمود.



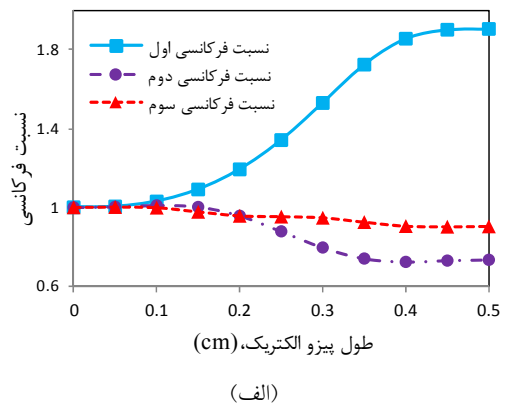
شکل ۵ تأثیر موقعیت محرک پیزوالکتریک بر نسبت فرکانسی تیر با شرایط تکیه‌گاهی یکسر گیردار



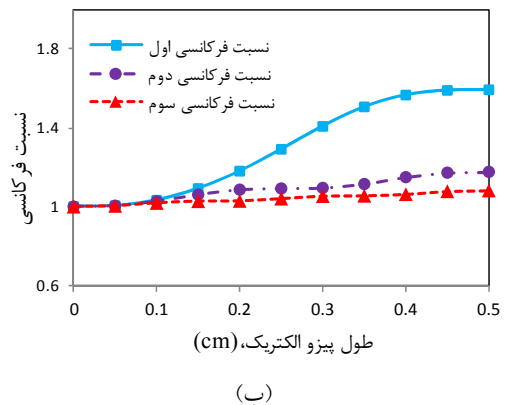
شکل ۶ تأثیر موقعیت محرک پیزوالکتریک بر نسبت فرکانسی تیر با تکیه‌گاه‌های ساده در دو انتها

به‌منظور نشان دادن تأثیر ولتاژ اعمالی به محرک‌های پیزوالکتریک بر بار کمانش تیر، در شکل (۷) تغییرات بار کمانش تیر یکسر گیردار برحسب ولتاژ و طول محرک پیزوالکتریک برابر 4.5mm رسم شده است. همان‌طور که مشاهده می‌شود استفاده از محرک پیزوالکتریک تأثیر قابل‌ملاحظه‌ای بر افزایش بار کمانش تیر دارد و ولتاژ 1000V باعث افزایش ۱۸٪ در

تأثیرگذاری آنها بیشتر می‌شود. نتایج نشان می‌دهد که به‌منظور استفاده بهینه، استفاده از محرک‌های پیزوالکتریک و اعمال ولتاژ الکتریکی ورودی کمتر بایستی طول مؤثر و موقعیت محرک‌های پیزوالکتریک به شکل مناسبی تعیین شوند.



(الف)

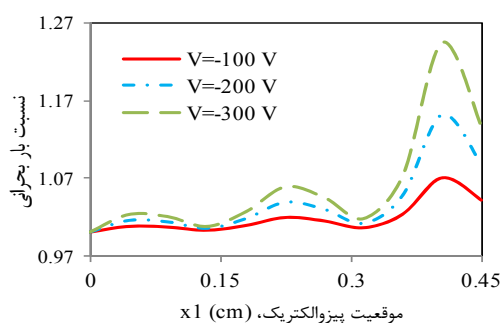


(ب)

شکل ۴ تأثیر طول محرک‌های پیزوالکتریک بر نسبت فرکانسی تیر با شرایط تکیه‌گاهی (الف) یکسر گیردار (ب) دو سر ساده

در شکل‌های (۵ و ۶)، تأثیر موقعیت محرک پیزوالکتریک بر نسبت فرکانسی تیر نشان داده شده است. به‌ازای طول ثابت محرک پیزوالکتریک، هرچه محرک به انتهای گیردار نزدیک باشد، تأثیر آن بر سفتی معادل سازه کمتر است و اثر کمتری بر تغییرات فرکانس طبیعی خواهد داشت. هم‌چنین تأثیر وصله‌های پیزوالکتریک بر تغییرات فرکانس طبیعی اول به‌مراتب بیشتر از تأثیر آن بر فرکانس‌های طبیعی بالاتر می‌باشد.

بحرانی تیر بیشتر می شود. با توجه به نتایج مشاهده می شود که محرک پیزوالکتریک واقع در موقعیت 0.4 cm از انتهای گیردار بیشترین اثر را بر روی افزایش بار بحرانی تیر دارد.



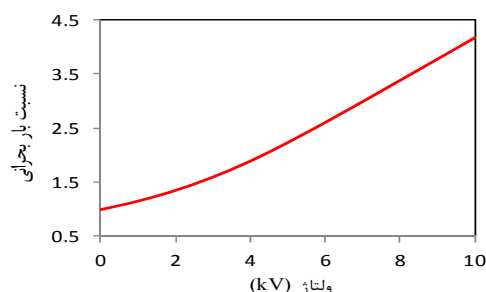
شکل ۹ تأثیر موقعیت پیزوالکتریک بر نسبت بار بحرانی تیر یکسر گیردار

نتیجه گیری

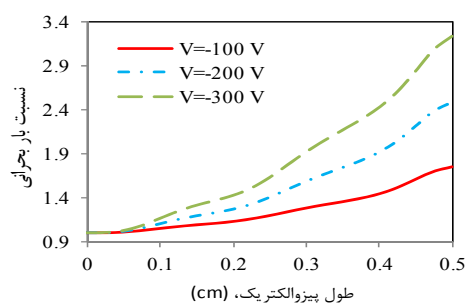
در این پژوهش با استفاده از مدل تحلیلی به بررسی تأثیر پارامترهای محرک پیزوالکتریک که به صورت دو وصله متقارن به تیر متصل شده اند، بر رفتار ارتعاشی تیر اویلر-برنولی پرداخته شد. مقایسه نتایج حاصل از مدل سازی (فرکانس های طبیعی) با نتایج حل دقیق موجود نشان می دهد که مدل ارائه شده برای بررسی رفتار ارتعاشی سازه مورد نظر از دقت قابل قبولی برخوردار است. نتایج نشان می دهد علاوه بر جنس محرک پیزوالکتریک، ولتاژ اعمالی، موقعیت و طول آن بر فرکانس های طبیعی تیر تأثیرگذار می باشند و با تعیین موقعیت و طول بهینه محرک های پیزوالکتریک می توان با اعمال حداقل ولتاژ الکتریکی بیشترین تغییرات را در فرکانس های طبیعی و بار بحرانی تیر به دست آورد. هم چنین تأثیر محرک پیزوالکتریک بر فرکانس طبیعی اول نسبت به فرکانس های طبیعی بالاتر قابل ملاحظه تر می باشد. علاوه بر این، نتایج نشان می دهد که بار بحرانی تیر به ولتاژ اعمالی، موقعیت و طول پیزوالکتریک حساسیت قابل ملاحظه ای دارد و

بار بحرانی تیر می شود.

در شکل (۸)، تأثیر طول پیزوالکتریک بر نسبت بار بحرانی تیر یکسر گیردار به ازای مقادیر مختلف ولتاژ نشان داده شده است. با افزایش طول محرک پیزوالکتریک نیروی محوری کششی ایجاد شده توسط لایه های متقارن محرک های پیزوالکتریک بیشتر می شود و در نتیجه بار بحرانی تیر افزایش می یابد. نتایج نشان می دهد که استفاده از لایه پیزوالکتریک که به طور کامل سطح تیر را تحت پوشش قرار می دهد، اعمال ولتاژ 100 V باعث افزایش ۷۵٪ در بار بحرانی تیر می شود.



شکل ۷ تأثیر ولتاژ اعمالی به محرک های پیزوالکتریک بر روی بار بحرانی تیر یکسر گیردار



شکل ۸ تأثیر طول پیزوالکتریک بر نسبت بار بحرانی تیر یکسر گیردار

شکل (۹) اثر موقعیت محرک پیزوالکتریک بر روی نسبت بار بحرانی تیر به ازای طول محرک 4.5 mm را نشان می دهد. نتایج نشان می دهد به ازای طول محرک و ولتاژ ثابت، با نزدیک شدن محرک به انتهای آزاد تیر یکسر گیردار، اثر آن بر افزایش بار

می‌توان با تعیین پارامترهای بهینه بار بحرانی را به صورت چشم‌گیری افزایش داد. این روش یکی از شیوه‌های کاربردی به منظور افزایش ظرفیت باربری و هم‌چنین تغییرات در فرکانس‌های طبیعی به منظور فاصله‌گیری از نواحی رزونانسی (تشدید) در سازه‌های تحت ارتعاش اجباری می‌باشد.

مراجع

1. Chopra, I., "Review of state of art of smart structures and integrated systems", *AIAA journal*, 40(11), pp. 2145-2187, (2002).
2. Zhang, Z., Kan, J., Cheng, G., Jia, Y. and Wang, H., "Influence of multiple piezoelectric effects on sensors and actuators", *Mechanical Systems and Signal Processing*, 35(1), pp. 95-107, (2013).
3. Waisman, H. and Abramovich, H., "Variation of natural frequencies of beams using the active stiffening effect", *Composites Part B: Engineering*, 33(6), pp. 415-424, (2002).
4. Asadi, K., Ahmadian, H. and Jalali, H., "Micro/macro slip damping in beams with frictional contact interface", *Journal of Sound and Vibration*, 331(21), pp. 4704-4712, (2012).
5. Vashist, S.K. and Chhabra, D., "Optimal placement of piezoelectric actuators on plate structures for active vibration control using genetic algorithm", *In SPIE Smart Structures and Materials Nondestructive Evaluation and Health Monitoring. International Society for Optics and Photonics*, pp. 905720-905732, (2014).
6. Hernandez, J.A., Almeida, S.F.M. and Nabarrete, A., "Stiffening effects on the free vibration behavior of composite plates with PZT actuators", *Composite structures*, 49(1), pp. 55-63, (2000).
7. Wang, Q. and Quek, S.T., "Enhancing flutter and buckling capacity of column by piezoelectric layers", *International journal of solids and structures*, 39(16), pp. 4167-4180, (2002).
8. Sadek, I., Kucuk, I., Zeini, E., Adali, S., "Optimal boundary control of dynamics responses of piezo actuating micro-beams", *Applied Mathematical Modeling*, 33(8), pp. 3343-3353, (2009).
9. Maurini, C., Pouget, J. and Vidoli, S., "Distributed piezoelectric actuation of a bistable buckled beam", *European Journal of Mechanics-A/Solids*, 26(5), pp. 837-853, (2007).
10. Wang, Q., "On buckling of column structures with a pair of piezoelectric layers", *Engineering structures*, 24(2), pp. 199-205, (2002).
11. Kayack, O., et al., "Integral equation approach for piezo patch vibration control of beams with various types of damping", *Computers and Structures*, 86, pp. 357-366, (2008).
12. Sridharan, S. and Kim, S., "Piezo-electric control of stiffened panels subject to interactive buckling", *International Journal of Solids and Structures*, 46(6), pp. 1527-1538, (2009).
13. Przybylski, J., "Stability of an articulated column with two collocated piezoelectric actuators", *Engineering Structures*, 30(12), pp. 3739-3750, (2008).
14. Wang, Q., Varadan, V.K., "Transition of the buckling load of beams by the use of piezoelectric layers", *Smart materials and structures*, 12(5), pp. 696-702, (2003).
15. Della, C.N. and Shu, D., "Vibration of beams with piezoelectric inclusions", *International journal of solids and structures*, 44(7), pp. 2509-2522, (2007).
16. Sloss, J.M., Bruch, J.C., Sadek, I.S. and Adali, S., "Piezo patch sensor/actuator control of the vibrations of a cantilever under axial load", *Composite Structures*, 62(3), pp. 423-428, (2003).
17. Chhabra, D., Narwal, K. and Singh, P., "Design and Analysis of Piezoelectric Smart Beam for Active Vibration Control", *International Journal of Advancements in Research & Technology*, 1(1), pp. 1-5, (2012).

18. Aldraihem, O.J., Singh, T. and Wetherhold, R.C., "Optimal size and location of piezoelectric actuator/sensors: practical considerations", *Journal of Guidance, Control, and Dynamics*, 23(3), pp. 509-515, (2000).
19. Khdeir, A.A. and Aldraihem, O.J., "Deflection analysis of beams with extension and shear piezoelectric patches using discontinuity functions", *Smart Materials and Structures*, 10(2), p. 212, (2001).
20. Aldraihem, O.J. and Khdeir, A.A., "Precise deflection analysis of beams with piezoelectric patches", *Composite Structures*, 60(2), pp. 135-143, (2003).
21. Nikkhoo, A., "Investigating the behavior of smart thin beams with piezoelectric actuators under dynamic loads", *Mechanical Systems and Signal Processing*, 45(2), pp. 513-530, (2014).
22. Ducarne, J., Thomas, O. and Deü, J.F., "Placement and dimension optimization of shunted piezoelectric patches for vibration reduction", *Journal of Sound and Vibration*, 331(14), pp. 3286-3303, (2012).
23. Crawley, E.F. and De Luis, J., "Use of piezoelectric actuators as elements of intelligent structures", *AIAA Journal*, 25(10), pp. 1373-1385, (1987).
24. Lawrence, N., "*Virgin-Vibration of Axially-Loaded Structures*", Cambridge University Press, (2007).
25. Wang, Q. and Wang, C.M., "Optimal placement and size of piezoelectric patches on beams from the controllability perspective", *Smart Materials and Structures*, 9(4), pp. 558-567, (2000).